

# 现代概率机器学习初步

August 11, 2024

## 1 引言

当下,生成式人工智能 (AGI) 广受关注,在文本、图像、视频生成等领域均有不凡表现。其中,在图像生成、视频生成等任务中,目前效果最佳的技术路线为扩散模型 (Diffusion Model, DM), 例如 OpenAI 的 Sora 模型。尽管人工智能一向被大多数人视作不可解释的“黑箱”,但具体到扩散模型,却有着极其清晰、深刻的数学本质:可以说在数学视角下,其本质上就是一个统计模型。本文尝试基于概率统计理论,以严格的数学语言,对扩散模型原理进行详细的推导与总结。值得注意的是,当前扩散模型的理论研究,更多已从初等概率论视角演变到随机分析视角,通过运用 ODE、SDE 等工具,将模型本质抽象到更加高等的数学中。但由于本课程的核心内容不涉及随机分析,故本文仅从初等概率论与统计视角出发,以扩散模型的“开山之作”——Jonathan Ho 等于 2020 年发表的 **去噪扩散概率模型** (Denoising Diffusion Probabilistic Models, DDPM) [1] 及其延伸话题为讨论对象。

值得注意的是,由于论文 [1] 没有以数学的思路来提出、整理命题,并且较多结论没有给出证明 (这是因为论文作者认为证明较为简单,不便占用过多篇幅),因此本文不会简单地重复该论文的思路与结构,而是尝试整理其前因后果,对其中出现的结论加以数学化的整理与表达。

本文将先介绍机器学习中, **生成式模型** 的普遍性概念,再具体探讨 **扩散模型** 的数学内涵。

**符号含义与其他说明** 1. 对随机向量  $(X_1, X_2, \dots, X_n)^T$ , 为简洁起见,将之记作  $X$ 。

2. 对随机向量  $X = [x_1, x_2, \dots, x_n]^T$ ,  $dX := dx_1 dx_2 \dots dx_n$ 。

3.  $p(X)$  与  $q(X)$  表示随机变量 (向量)  $X$  的 PDF。

4.  $p_{data}(X)$  表示数据实际服从的分布,  $p_{model}(X)$  表示建模得到的分布。

5. 如无特殊说明,本文的所有随机变量 (向量) 的分布均为连续分布,且其 PDF 均连续。

## 2 生成式模型的基本概念

机器学习的两种建模方式分别为判别式建模 (discriminative modeling) 和生成式建模 (generative modeling), 扩散模型即属于后者。因此,我们先来探讨生成式模型的基本概念。

### 2.1 生成式模型

我们先以图像生成为例加以说明。计算机将图像表示成许多像素,如果将每个像素视作一个随机变量,那么整张图片便可以看做一个随机向量  $X$ 。根据 **数据流形的分布假设**,有意义的图像 (即现实生活中能够出现的图像) 服从某种概率分布,即  $X \sim P_{data}(X)$ 。我们的目的是,通过对现

实数据的统计方法建立一个统计模型  $P_{model}(X)$ ，来模拟  $P_{data}(X)$ ，这就引出了生成式模型的概念：

**定义 1 (生成式模型)**：给定特征空间  $R^d$  上的数据分布  $P_{data}(X)$ ，生成式模型是由参数空间  $\Theta$  中参数  $\theta$  定义的一个参数模型，使得模型分布  $P_{model}(X)$  近似于  $P_{data}(X)$ ，并可以从  $P_{model}(X)$  中采样，从而生成新的数据。

生成式模型的一个重要作用，在于模型分布如能足够近似真实数据分布，则通过从模型分布中采样，可以生成近似服从真实分布的数据，从而实现全新数据的获得。例如，在完成图像生成模型的训练后，我们便可以源源不断地获取心目中高质量的图片。

## 2.2 生成式模型的两大任务

根据上述概念，我们可以看出生成式模型的两个任务：1. 尽量精确地拟合真实分布  $P_{data}(X)$ ，我们将此称作 **训练**；2. 从模型分布中采样，以便生成新的数据，我们将此称作 **推理**。对训练而言，要估计  $P_{data}(X)$ ，我们有很多方法，此处以最大似然估计为例。给定数据样本  $\{X_1, X_2, \dots, X_n\}$ ，训练所得参数为

$$\theta^* = \operatorname{argmax}_{\theta} \sum_{i=1}^n \log p_{model}(X_i).$$

## 2.3 隐变量生成模型

在明确基本概念后，我们来考虑如何具体参数化  $P_{model}(X)$ 。当前，包括扩散模型在内的主流生成模型，均为 **隐变量生成模型**。以下将对此加以解释：

**隐变量** 首先明确 **隐变量** 的概念。隐变量 (latent variable) 是不能直接观测到的随机变量，它用于描述数据生成过程中的未知因素。举例而言，在统计“北京市市民是否支持五环以内限行”问题时，我们获得的数据只有“支持还是反对”的信息（这就是所谓“观测变量”），而这些调查对象的年龄、居住地等信息，对于我们来说不可知。然而，这些因素却深切影响了“是否支持”这一观测变量，我们称这些因素为“隐变量”。

然后定义“隐变量生成模型”：

**定义 2(隐变量生成模型)** 对于某个生成模型，设随机向量  $X$  为观测变量， $Z$  为隐变量，若  $p_Z(z), p_{X|Z}(x|z)$  是参数模型，则称这一模型为隐变量生成模型。

**注 1** 通常，隐变量边缘分布  $p_Z(z)$  是**已知的或人为设定的先验分布**，如标准正态分布。在这种情况下，模型中唯一未定参数是  $p_{X|Z}(x|z)$  中的参数。于是，参数估计（及模型训练）的任务就转化成：根据样本，使用 MLE 方法，确定  $p_{X|Z}(x|z)$  的参数。

我们来稍作解释。为何要引入隐变量？这可以大大提升模型的表达能力，便于参数化，有利于使用机器学习方法予以拟合。举一个具体例子：

**例 1(变分自编码器的译码器模型, Decoder of VAE)** 设隐变量  $Z \sim N(Z; 0, I)$ ，特征变量（如图像像素）为  $X$ ，定义  $p_{X|Z}(x|z) = N(x; \mu(z); \sigma^2(z)I)$ ，其中  $\mu(z), \sigma(z)$  均为  $z$  的函数。则  $X$  的模型分布为  $p_{model}(x) = p_Z(z)p_{X|Z}(x|z)$ 。（注：高维正态分布的刻画涉及协方差矩阵，此处是设其协方差阵为一个对角阵  $\sigma^2(z)I$ 。下文若无特殊说明，所涉及的正态分布均为高维正态分布）

对于上例，我们用神经网络来拟合  $\mu(z), \sigma(z)$  两个函数。假设  $\mu(z) = f(z; \theta_1, \theta_2, \dots, \theta_k)$ ，其中  $\theta_i$  为参数，则给定数据样本  $\{x_1, x_2, \dots, x_n\}$ ，神经网络的训练目标是：

$$\theta_i^* = \operatorname{argmax}_{\theta_i} \left( \sum_{i=1}^n \log p_{\text{model}}(x_i) \right) \quad (1)$$

$$= \operatorname{argmax}_{\theta_i} \left( \sum_{i=1}^n \log \int p(x_i, z) dz \right) \quad (2)$$

$$= \operatorname{argmax}_{\theta_i} \left( \sum_{i=1}^n \log \int p_Z(z) p_{X|Z}(x_i|z) dz \right) \quad (3)$$

$$= \operatorname{argmax}_{\theta_i} \left( \sum_{i=1}^n \log \int N(z; 0, I) N(x_i; \mu(z), \sigma^2(z)I) dz \right), \quad (4)$$

其中  $N(z; 0, I)$  表示将  $z$  代入标准正态分布  $N(0, I)$  PDF 后所得结果， $N(x_i; \mu(z), \sigma^2(z)I)$  表示将  $x_i$  代入正态分布  $N(x; \mu(z), \sigma^2(z)I)$  的 PDF 后所得结果。

显然，相较于直接假设  $p_{\text{model}}(X)$  是正态分布  $N(\mu, \sigma^2 I)$ ，隐变量模型的参数更多（直接假设，则参数只有  $\mu, \Sigma$  两个常数，而隐变量模型则可以将  $\mu(z), \sigma^2(z)$  视作函数，用神经网络的许多参数来拟合它们。我们有理由认为，参数越多，模型的表达能力越强（也就是能够更加逼近真实的数据分布  $P_{\text{data}}(X)$ ）。

## 2.4 隐变量模型的变分推断

隐变量生成模型的训练具体应怎么操作？我们此处一直假定采用 MLE 方法。沿用上述例子，如何来具体求出

$$\theta_i^* = \operatorname{argmax}_{\theta_i} \left( \sum_{i=1}^n \log \int p_Z(z) p_{X|Z}(x_i|z) dz \right) \quad (5)$$

$$= \operatorname{argmax}_{\theta_i} \left( \sum_{i=1}^n \log p_X(x_i) \right), \quad (6)$$

是一个关键问题。显然，想要直接求导数做最大似然，就要求出上式积分的一个解析解，这无疑非常困难。换言之，隐变量参数模型的训练，不能直接采用对数似然来做 MLE。为此，我们引入 **变分推断** 的方法，以实现 MLE 的具体操作。

**命题 1（对数似然的变分下界）** 记对数似然  $L(\theta) := \sum_{i=1}^n \log p_X(x_i)$ ， $q(z|x; \phi)$  为另一个分布，其中  $\phi$  是参数。则：

$$L(\theta) \geq \sum_{i=1}^N E_q[\log p(z, x_i; \theta) - \log q(z|x_i; \phi)] := \hat{L}(\theta, \phi), \quad (7)$$

且若  $q$  的函数形式与  $\phi$  的具体取值均无任何限制，则对任意确定的  $p$  与  $\theta$ ，都存在一个  $q$  的函数形式与  $\phi$  的取值，使得  $\hat{L}(\theta, \phi) = L(\theta)$ 。证明见附录 A。

根据此命题，可知  $\max_{\theta, \phi} L(\hat{\theta}, \phi) = \max_{\theta} L(\theta)$ ，从而  $\operatorname{argmax}_{\theta} (\max_{\phi} L(\hat{\theta}, \phi)) = \operatorname{argmax}_{\theta} (L(\theta))$ ，因此对  $\hat{L}(\theta, \phi)$  做 MLE 来估计  $\theta^*$ ，等价于对  $L(\theta)$  做 MLE。

基于此，我们对  $q(z|x; \phi)$  做一些预设（例如，确定  $q$  的函数形式，确定其参数个数），使得  $\hat{L}(\theta, \phi)$  易于实际计算，那么我们便将难以实际操作的  $L(\theta)$  MLE 转换成方便计算的  $\hat{L}(\theta, \phi)$  MLE。

当然，由于为了便于计算，我们对  $q(z|x; \phi)$  做了一些预设，这些限制可能导致上述的取等无法实现。但事实上，即使不能取等，二者的差异也相对较小。因此，这种方法是进行 MLE 的可行方式。

实际上，这就是所谓 **变分推断** 的基本思想，扩散模型正是基于这一思路进行参数估计（也即所谓“训练”）的。下面，我们正式进入对扩散模型的讨论。

### 3 扩散模型：基于概率统计的数学本质

扩散模型是一个 **多隐变量** 生成模型，在上文隐变量模型的基础上，引入了多个隐变量，从而实现了更优的表达能力。下面先介绍模型的参数化形式，随后在此基础上说明参数估计（即“模型训练”）的具体方法。

#### 3.1 模型的参数化形式

**定义 2 (去噪扩散概率模型)** 设随机向量  $X_0, X_1, \dots, X_T \in R^d$ ，其中  $R^d$  为特征空间， $X_0$  为观测变量（eg. 图像像素组成的随机向量）， $X_1, \dots, X_T$  为隐变量。定义隐变量  $X_i (i = 1, 2, \dots, T)$  服从的真实分布为

$$q_{X_0}(x_0) = p_{data}(x_0), \quad (8)$$

$$q_{X_t|X_{t-1}}(x_t|x_{t-1}) = N(x_t; \sqrt{1 - \beta_t}x_{t-1}, \beta_t I), \quad (9)$$

$$q_{X_t|X_{t-1}, \dots, X_0}(x_t|x_{t-1}, \dots, x_0) = q_{X_t|X_{t-1}}(x_t|x_{t-1}) \quad , t = 1, 2, \dots, T, \quad (10)$$

模型分布为

$$p_{X_T}(x_t) = N(x_t; 0, I), \quad (11)$$

$$p_{X_{t-1}|X_t}(x_{t-1}|x_t) = N(x_{t-1}; \mu(x_t, t), \sigma_t^2 I), \quad (12)$$

$$p_{X_{t-1}|X_t, \dots, X_T}(x_{t-1}|x_t, \dots, x_T) = p_{X_{t-1}|X_t}(x_{t-1}|x_t) \quad , t = 1, 2, \dots, T, \quad (13)$$

其中  $\sigma_t$  是预设常数（是不可学习的定值）， $\mu(x_t, t)$  是关于  $x_t$  与  $t$  的函数，使用神经网络进行模拟。以这个神经网络中的参数作为待估计参数，则这个参数模型称作**去噪扩散概率模型** (Denoising Diffusion Probabilistic Model, DDPM)。

下面对此概念进行一些直观的解释。 $X_0$  是数据特征变量，例如一张  $256 \times 256$ 、由三原色组成的图像，则其中所有像素构成了  $X_0 \in R^{256 \times 256 \times 3}$ 。隐变量  $X_1, \dots, X_T$  是人为引入的变量，而既然是人为引入，那么就可以人为指定它们的分布形式，具体而言， $q_{X_t|X_{t-1}}(x_t|x_{t-1}) = N(x_t; \sqrt{1 - \beta_t}x_{t-1}, \beta_t I)$  这一条件分布，指明了  $X_t$  的构造方法：根据正态分布性质，联系上式，我们有

$$X_t = \sqrt{1 - \beta_t}X_{t-1} + \sqrt{\beta_t}\epsilon, \quad \epsilon \sim N(0, I). \quad (14)$$

换言之， $X_t$  其实就是对  $X_{t-1}$  与标准正态  $\epsilon$  的线性组合。由于标准正态分布是不含有效信息的高斯噪声，因此获得  $X_t$  的这一过程，就相当于向  $X_{t-1}$  添加一些“噪声”。因此，这个过程被称作“**加噪过程**”（也称“前向过程”）。图1是  $X_0, X_1, \dots, X_T$  的简单例子。例子中  $T = 6$ ，而事实上为

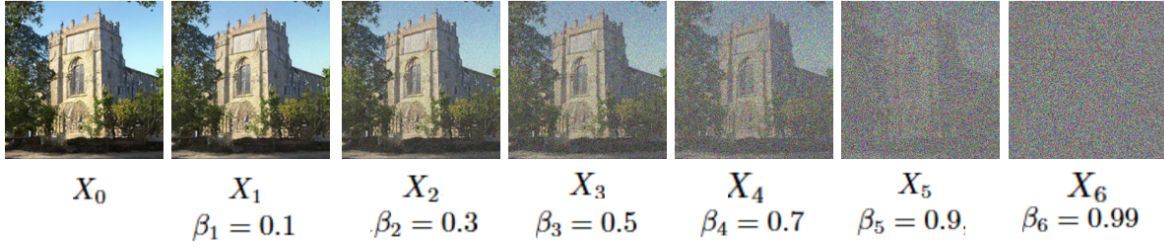


Figure 1: 隐变量分布的定义: 加噪过程

提高模型表达能力,  $T$  往往很大, 如  $T = 1000$ . 至于 10 式所规定的马尔可夫性, 则其实也能反应在式 14 中, 即: 隐变量的分布仅取决于它的直接前驱, 与时间序列中的其他祖先无关。

类似地, 我们定义模型分布  $p_{X_{t-1}|X_t}(x_{t-1}|x_t) = N(x_{t-1}; \mu(x_t, t), \sigma_t^2 I)$  ( $t = 1, 2, \dots, T$ ) 可以理解成从一个标准正态分布出发不断迭代, 用许多正态分布的“复合”来近似真实的数据分布。具体而言:

$$p_{model}(x_0) = p_{X_0}(x_0) \quad (15)$$

$$= \int p(x_0, x_1, \dots, x_T) dx_1 \dots dx_T \quad (16)$$

$$= \int p_{X_T}(x_T) \prod_{t=1}^T p_{X_{t-1}|X_t}(x_{t-1}|x_t) dx_1 \dots dx_T, \quad (17)$$

其中 16 式到 17 式的等号利用了 13 式规定的马尔可夫性。

换言之, 只要我们能够确定  $p_{X_{t-1}|X_t}(x_{t-1}|x_t)$ , 我们便在理论上获得了模型分布  $p_{model}(x_0)$ . 当然, 即使确定了这些参数, 由于计算的复杂性, 我们还是不可能直接积分来求  $p_{model}(x_0)$ , 具体如何根据这些隐变量条件分布来实现从  $p_{model}(x_0)$  中采样, 我们将在后文略作讨论。

下面, 我们从“生成模型的两大任务”(见 2.2), 即 **训练**与 **推理**两方面展开。

### 3.2 扩散模型的训练 (模型参数估计)

**注** 在实际应用神经网络进行训练时, 为了便于减小误差、更易拟合, 原论文并未直接拟合  $\mu(x_t, t)$ , 而是采用了一个等价形式。然而由于其数学本质没有区别, 更多是工程上的技巧, 因此为了使表述简洁而不冗杂, 本文仍直接用  $\mu(x_t, t)$  的拟合来推导原理。

#### 3.2.1 对数似然及其变分下界

我们的目标是通过 **最大似然估计**来做参数估计。但是, 沿用 2.4 提出的观点, 由于直接计算边缘分布需要积分, 但此积分在实际操作中几乎不可积, 因此我们不能直接运用 17 式, 求出  $p(X_0)$  之后做 MLE, 而该使用 **变分推断**的方法。具体而言, 设训练集为  $\{x_{01}, x_{02}, \dots, x_{0N}\}$ , 隐变量  $X_{ti} (t = 1, \dots, T)$  是以  $X_{0i}$  为基础, 根据加噪过程构造的 (注, 针对训练集的每个  $X_{0i}$ , 我们构造许多  $X_{ti}$ , 以增强训练效果)。用上述  $X_{1i}, \dots, X_{Ti}$  代入式 7 中的隐变量  $z$ , 可得:

$$\sum_{i=1}^N \log p_{X_0}(x_{0i}) \geq \sum_{i=1}^N E_{q(X_1, \dots, X_T)} [\log p(x_{1i}, x_{2i}, \dots, x_{Ti}, x_{0i}; \theta) - \log q(x_{1i}, x_{2i}, \dots, x_{Ti} | x_{0i})], \quad (18)$$

这里 RHS 是对  $X_1, \dots, X_T$  求期望。当  $N$  极大时，由大数定律，该式近似为

$$E_{q(X_0)} \log p_{X_0}(x_0) \geq E_{q(X_0, X_1, \dots, X_T)} [\log p(x_1, x_2, \dots, x_T, x_0; \theta) - \log q(x_1, x_2, \dots, x_T | x_0)], \quad (19)$$

这里 LHS 是对  $X_0$  求期望，RHS 是对  $X_0, X_1, \dots, X_T$  求期望。由于实际训练的  $N$  非常大，因此下文默认采用此式。

于是，MLE 中的

$$\theta^* = \operatorname{argmax}_{\theta} E_{q_{X_0}(X_0)} \log p_{X_0}(x_{0i}), \quad (20)$$

可以根据 2.4 而近似为

$$\theta^* = \operatorname{argmax}_{\theta} E_{q(X_0, X_1, \dots, X_T)} [\log p(x_1, x_2, \dots, x_T, x_0; \theta) - \log q(x_1, x_2, \dots, x_T | x_0)], \quad (21)$$

根据机器学习的优化习惯，我们希望最小化目标函数，故此对上式取反：

$$\theta^* = \operatorname{argmin}_{\theta} E_{q(X_0, X_1, \dots, X_T)} [\log q(x_1, x_2, \dots, x_T | x_0) - \log p(x_1, x_2, \dots, x_T, x_0; \theta)]. \quad (22)$$

根据条件概率定义，联系 10 13 两式，我们可以把 22 式展开为

$$\theta^* = \operatorname{argmin}_{\theta} E_{q(X_0, X_1, \dots, X_T)} [-\log p_{X_T}(X_T) - \sum_{t \geq 1} \log \frac{p_{X_{t-1}|X_t}(x_{t-1} | x_t)}{q_{X_t|X_{t-1}}(x_t | x_{t-1})}] \quad (23)$$

$$:= \operatorname{argmin}_{\theta} L. \quad (24)$$

下面来最小化  $L$ 。

### 3.2.2 参数估计的具体目标推导

#### 命题 2

$$L = E_q[KL(q(x_T | x_0) \| p(x_T))] + \sum_{t \geq 1} KL(q(x_{t-1} | x_t, x_0) \| p(x_{t-1} | x_t)) - \log p(x_0 | x_1)], \quad (25)$$

其中

$$KL(p(x) \| q(x)) := E_{p(x)} [\log \frac{p(x)}{q(x)}], \quad (26)$$

称为两个分布之间的 **KL 散度**。证明见附录 B(为简洁起见，上述命题将形如  $p_{X|Y}(x|y)$  的条件概率符号记作  $p(x|y)$  省略了下标)。

考察 25 式中的三个加项，将之分别记作

$$L_T := E_q[KL(q(x_T | x_0) \| p(x_T))], \quad (27)$$

$$L_{t-1} := E_q[KL(q(x_{t-1} | x_t, x_0) \| p(x_{t-1} | x_t))], \quad (28)$$

$$L_0 := E_q[-\log p(x_0 | x_1)], \quad (29)$$

则

$$L = L_T + \sum_{t \geq 1} L_{t-1} + L_0, \quad (30)$$



我们对这三项逐一加以探讨。

**(i). 第一部分: 考察  $L_T$**

考虑如下命题:

**命题 3** 加噪过程中,

$$q_{X_T|X_0}(x_T|x_0) = N(x_T; \sqrt{\alpha_T} x_0, (1 - \alpha_T)I), \quad (31)$$

其中  $\alpha_T := \prod_{s=1}^T (1 - \beta_s)$ 。证明见附录 C。

根据 **命题 3**, 我们发现  $q_{X_T|X_0}(x_T|x_0)$  是一个不含可学习参数的分布 (如上文所述,  $\beta_t$  预先固定), 而  $p_{X_T}(x_T)$  也是人为预设的  $N(0, I)$ , 因此  $L_T$  没有可以推断的参数, 是一个常数。

**(ii). 第二部分: 考察  $L_0$**

由于相较于  $T = 1000$  这样庞大的数字, 这一项对整体优化影响很小, 且在实践中发现优化此项带来的性能提升极少, 因此我们暂不考虑  $L_0$  的优化 (事实上 DDPM 的原始论文也未曾考察此项)。

**(iii). 第三部分: 考察  $L_{t-1}$**

因此, 我们只需最小化  $\sum_{t>1} L_t$ , 我们这里尝试对每一个  $t \in \{2, 3, 4, \dots, T\}$ , 都最小化  $L_{t-1}$ 。事实上, 这样做会自然地引发一个问题, 即: 这些  $L_{t-1}$  是否能够同时取最小值? 假若不能, 那么分别取最小, 就不能确保整体之和最小。所幸, 由于我们的参数是一个拟合  $\mu(x, t)$  函数的神经网络中的参数, 而神经网络只要足够深, 拟合能力便相当之强, 因此足以实拟合对每个  $t$  都取  $\min L_{t-1}$  的  $\mu(x, t)$ 。

先考虑如下两个命题:

**命题 4(离散形式的布朗桥)** 加噪过程中,

$$q(x_{t-1}|x_t, x_0) = N(x_{t-1}; \hat{\mu}_t(x_0, x_t), \hat{\beta}_t I), \quad (32)$$

其中

$$\hat{\mu}_t(x_0, x_t) := \frac{\sqrt{\alpha_{t-1}}\beta_t}{1 - \alpha_t}x_0 + \frac{\sqrt{1 - \beta_t}(1 - \alpha_{t-1})}{1 - \alpha_t}x_t, \quad (33)$$

$$\hat{\beta}_t := \frac{1 - \alpha_{t-1}}{1 - \alpha_t}\beta_t. \quad (34)$$

证明见附录 D。

**命题 5(正态分布之间的 KL 散度公式)** 设随机变量  $X \in R^d$ , 概率密度函数

$$p_1(x) = N(\mu_1, \sigma_1^2 I), p_2(x) = N(\mu_2, \sigma_2^2 I),$$

则这两个正态分布之间的 KL 散度为

$$KL(p_1(x)||p_2(x)) = \frac{1}{2} \log\left(\frac{\sigma_1^2}{\sigma_2^2}\right)^d + \frac{\sigma_1^2 + \|\mu_1 - \mu_2\|^2}{2\sigma_2^2} - \frac{d}{2}. \quad (35)$$

这里仅给出了正态分布的协方差阵是对角阵的情况，不过对我们的话题已经足够。证明见附录 E.

根据 **命题 4**、**命题 5**，我们可以将  $L_{t-1}$  化简：

$$L_{t-1} = E_q[KL(q(x_{t-1}|x_t, x_0) || p(x_{t-1}|x_t))] \quad (36)$$

$$= E_q[KL(N(x_{t-1}; \hat{\mu}_t(x_0, x_t), \hat{\beta}_t I) || N(x_{t-1}; \mu(x_t, t), \sigma_t^2 I))] \quad (37)$$

$$= E_q[\frac{1}{2} \log(\frac{\hat{\beta}_t}{\sigma_t^2})^d + \frac{\hat{\beta}_t + \|\hat{\mu}_t(x_0, x_t) - \mu(x_t, t)\|^2}{2\sigma_t^2} - \frac{d}{2}]. \quad (38)$$

38 式中， $\hat{\beta}_t$  仅取决于  $x_0, x_t$ ，而这两个变量是训练数据，因此是常数； $\sigma_t$  是预设常数； $d$  是特征空间维度，也是常数。因此，想要最小化  $L_{t-1}$ ，可优化之处只有  $\|\hat{\mu}_t(x_0, x_t) - \mu(x_t, t)\|^2$ 。因此：

$$\theta_{t-1}^* = \operatorname{argmin} L_{t-1} \quad (39)$$

$$= \operatorname{argmin} E_q[\frac{1}{2} \log(\frac{\hat{\beta}_t}{\sigma_t^2})^d + \frac{\hat{\beta}_t + \|\hat{\mu}_t(x_0, x_t) - \mu(x_t, t)\|^2}{2\sigma_t^2} - \frac{d}{2}] \quad (40)$$

$$= \operatorname{argmin} E_q[\|\hat{\mu}_t(x_0, x_t) - \mu(x_t, t)\|^2]. \quad (41)$$

至此，我们终于得到了参数  $\theta$  的表达式（亦即参数估计方法）：

$$\theta_{t-1}^* = \operatorname{argmin} E_q[\|\hat{\mu}_t(x_0, x_t) - \mu(x_t, t)\|^2]. \quad (42)$$

有了这个解析式，我们就可以采用梯度下降等方法不断优化我们的神经网络（即  $\mu(x_t, t)$ ），从而完成训练。

**小结** 回顾上述推导过程，我们从最大似然估计出发，由于对数似然包含复杂积分、不能直接计算，因此我们使用变分推断，通过引入对数似然的变分下界，将 MLE 的目标转换成  $\operatorname{argmin} L$ 。在此基础上，我们通过命题 2（式 25），将  $L$  拆分成  $L_T, \sum_{t>1} L_{t-1}, L_0$  三部分，证明了  $L_T$  是常数，于是在  $L_0$  的影响极小、可以忽略的前提下，我们的 MLE 等价于最小化  $\sum_{t>1} L_{t-1}$ 。由于神经网络极强的拟合能力，这一目标可以通过令所有  $L_t$  同时取最小实现。通过证明  $L_t$  所涉及的两个分布均为正态分布，我们就可以通过正态分布之间的 KL 散度公式来得到  $\min L_t$  的等价的、可操作的形式。由此，我们最终找到了一个可操作的参数估计方法。

### 3.3 扩散模型的推理（从分布中采样）

既已确定参数，我们下面就可以利用这个模型来进行生成。正如上文 (3.1) 所述，在确定  $p_{X_{t-1}|X_t}(x_{t-1}|x_t)$  后，我们不能直接通过 17 式积分来获得  $p_{model}(x_0)$ 。但是我们之所以要训练这样一个模型，正是为了能够从  $p_{model}(x_0)$  中采样，以便获得新数据。为此，我们采用如下的采样方法：

**算法 1 (DDPM Sampler)** :

1. 从  $N(0, I)$  采样  $X_T$ ;
2. 遍历  $t = T, \dots, 1$ , 进行如下操作:
  - (i). 从  $N(0, I)$  采样  $z_t$ ;
  - (ii). 计算  $X_{t-1} = \mu(X_t, t) + \sigma_t z_t$ .
3. 获得  $X_0 \sim P_{model}(X_0)$ .



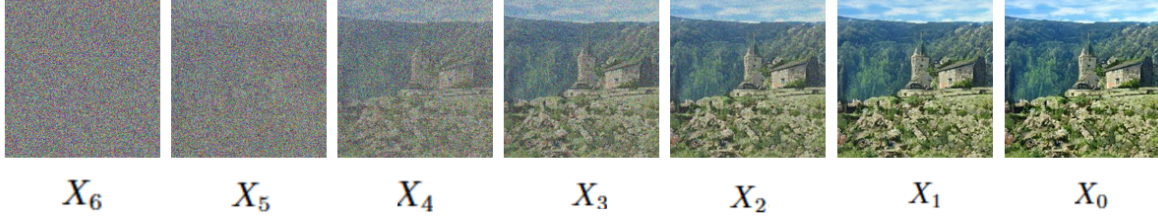


Figure 2: 模型推理: 去噪过程

这其实就是利用正态分布的性质把  $p_{X_{t-1}|X_t}(x_{t-1}|x_t) = N(x_{t-1}; \mu(x_t, t), \sigma_t^2 I)$  重写一遍，但好处是这成为了一个可以实际操作算法。这个算法的执行过程，由于是从高斯噪声出发，逐渐获得一个清晰的图片，因此被称作“去噪过程”（或反向过程）。图 2 以  $T = 6$  作为例子。值得注意的是，实际应用中  $T$  极大（eg. 1000），那么就需要极多的迭代步数，这无疑导致了模型生成速度的下降。为解决这一问题，各种采样加速算法不断提出，如 DDIM [3]，DPM-Solver [2] 等等。篇幅所限，不加陈述。

## 4 未尽话题与结语

尽管本文对扩散模型的基本概念进行了一些讨论，尝试推导了一些公式，但本文距扩散模型的全貌仍相差很多，有太多的未尽话题值得思考：例如，上文的探讨有意回避了“条件生成”的概念，模型所生成的内容可能是任何一种物体，如何控制模型生成我们想要的内容？（例如，如何用文字控制模型的生成内容，eg. 输入“一条狗追逐一只猫”的文字，要求模型生成对应内容的图像）这种条件生成的概念，正是颇具热度的文生图、文生视频等模型必不可少的基础。又如，上文推导基础原理时，曾将加噪过程中的方差强行固定，那么是否存在数学上的最优解，能够解析地确定最优方差？再如，如上文所述，采样阶段的近一千步迭代将大大降低采样速率，这势必导致应用上的极大不便，如何实现既加速采样，又保证生成质量，这些改进的背后又有着怎样的数学本质？这些问题引出的杰出工作，都曾大放异彩。至于如何将模型背后的数学本质提高到更加高等的领域、如何将这些离散的加噪、去噪过程转换成连续过程，这一问题引出了 Score Matching SDE 及与之等价的 ODE，这些视角甫一提出，便成为理论研究领域不可或缺的出发点。时至今日，扩散模型的理论日趋完备，如何设计神经网络的具体结构、如何提高模型的生成质量，则成为工业界最为关心的话题。限于篇幅，本文仅探讨了扩散模型的“开山之作”，未曾涉及这些精彩纷呈的后续内容。然而管中窥豹，可见一斑，通过对其数学本质的探讨，我们可以看到，当代人工智能并非毫无理论的“黑盒”，其背后的统计机器学习原理之深刻精彩，诚为动人心魄。

最后，展示一些由扩散模型生成的图像：图 3；图 4。

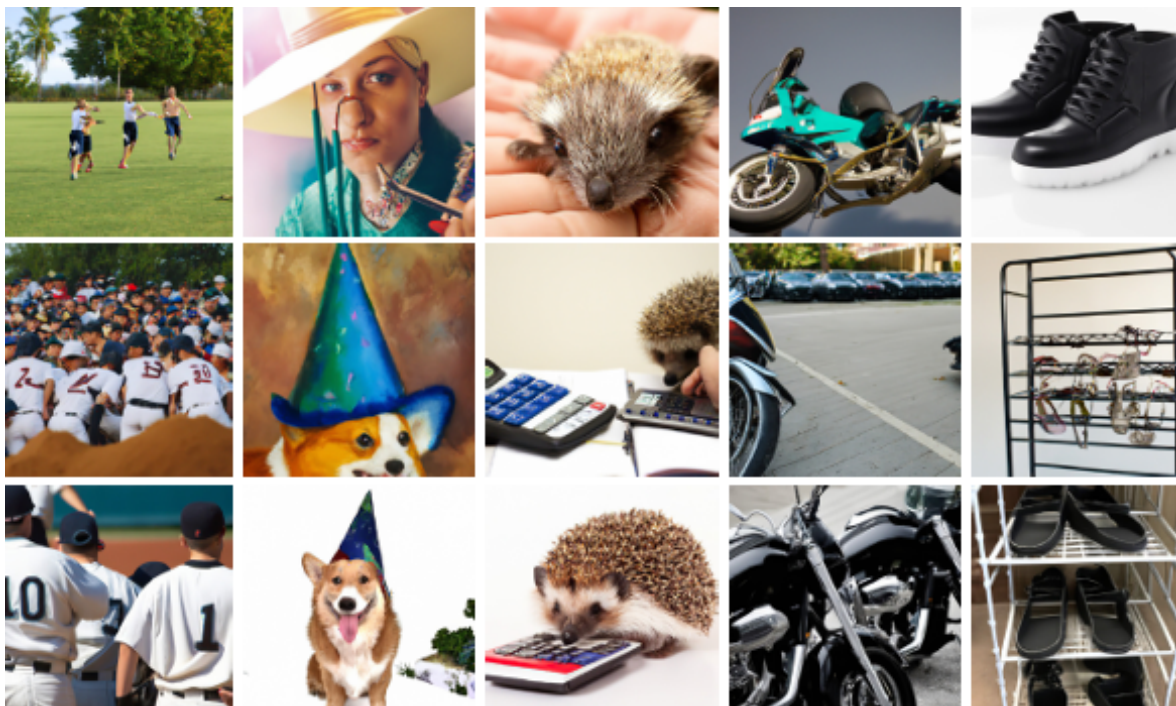


Figure 3: 扩散模型所生成图像的欣赏



Figure 4: 扩散模型所生成图像的欣赏

## A 命题 1 证明

先证一条引理:

**引理 1(信息不等式)** 对任意两分布  $P(X), Q(X)$ , 设其 PDF 分别是  $p(x), q(x)$ , 均为连续函数, 则有

$$E_{q(x)}[\log \frac{q(x)}{p(x)}] \geq 0, \quad (43)$$

等号成立当且仅当  $\forall x, p(x) = q(x)$ .

**证明 1** 以下给出 **引理 1** 的 (不严格) 证明:

$$E_{q(x)}[\log \frac{q(x)}{p(x)}] = -E_{q(x)}[\log \frac{p(x)}{q(x)}], \quad (44)$$

由积分形式的 Jensen 不等式,

$$-E_{q(x)}[\log \frac{p(x)}{q(x)}] \geq -\log E_{q(x)}[\frac{p(x)}{q(x)}] = -\log(\int p(x)dx) = 0. \quad (45)$$

由此得证 (事实上, 仅使用 Jensen 不等式并不严格, 尤其是取等条件难以说清。但严格证明涉及泛函分析知识, 此处不做展开)。

下面证明 **命题 1**:

**证明 2** 以  $z$  为变量,  $x_i$  为具体数值, 由式 43 有

$$E_q[\log \frac{q_{Z|X}(z|x_i)}{p_{Z|X}(z|x_i)}] \geq 0, \quad (46)$$

由条件概率定义有

$$E_q[\log \frac{q_{Z|X}(z|x_i)}{p_{Z|X}(z|x_i)}] = E_q[\log \frac{q_{Z|X}(z|x_i)p_X(x_i)}{p(z, x_i)}] \quad (47)$$

$$= E_q[\log \frac{q_{Z|X}(z|x_i)}{p(z, x_i)} + \log p_X(x_i)] \quad (48)$$

$$= \log p_X(x_i) + E_q[\log q_{Z|X}(z|x_i) - \log p(z, x_i)] \quad (49)$$

$$\geq 0, \quad (50)$$

即

$$\log p_X(x_i) \geq E_q[\log p(z, x_i) - \log q_{Z|X}(z|x_i)]. \quad (51)$$

于是证毕。

## B 命题 2 证明

$$L = E_q[-\log p(x_T) - \sum_{t \geq 1} \log \frac{p(x_{t-1}|x_t)}{q(x_t|x_{t-1})}] \quad (52)$$

$$= E_q[-\log p(x_T) - \sum_{t > 1} \log \frac{p(x_{t-1}|x_t)}{q(x_t|x_{t-1})} - \log \frac{p(x_0|x_1)}{q(x_1|x_0)}] \quad (53)$$

$$= E_q[-\log p(x_T) - \sum_{t > 1} \log \frac{p(x_{t-1}|x_t)}{q(x_{t-1}|x_t, x_0)} \cdot \frac{q(x_{t-1}|x_0)}{p(x_t|x_0)} - \log \frac{p(x_0|x_1)}{q(x_1|x_0)}] \quad (54)$$

$$= E_q[-\log \frac{p(x_T)}{q(x_T|x_0)} - \sum_{t > 1} \log \frac{p(x_{t-1}|x_t)}{q(x_{t-1}|x_t, x_0)} - \log p(x_0|x_1)] \quad (55)$$

$$= E_q[KL(q(x_T|x_0)||p(x_T)) + \sum_{t > 1} KL(q(x_{t-1}|x_t, x_0)||p(x_{t-1}|x_t)) - \log p(x_0|x_1)]. \quad (56)$$

此处为了方便而将形如  $p_{X|Y}(x|y)$  的符号记作  $p(x|y)$  .

## C 命题 3 证明

将命题加强为

$$q_{X_t|X_0}(x_t|x_0) = N(x_t; \sqrt{\alpha_t} x_0, (1 - \alpha_t)I), \quad (57)$$

对  $t$  归纳,

当  $t = 1$  时, 由 9 式, 显然;

假设  $t = k$  时成立, 则  $t = k + 1$  时,

$$X_{k+1} = \sqrt{1 - \beta_{k+1}}X_k + \sqrt{\beta_{k+1}}\epsilon_1, \quad \epsilon_1 \sim N(0, I). \quad (58)$$

由归纳假设,

$$X_k = \sqrt{\alpha_k}X_0 + \sqrt{(1 - \alpha_k)}\epsilon_0, \quad \epsilon_0 \sim N(0, I). \quad (59)$$

因此:

$$X_{k+1} = \sqrt{(1 - \beta_{k+1})\alpha_k}X_0 + \sqrt{(1 - \beta_{k+1})(1 - \alpha_k)}\epsilon_0 + \sqrt{\beta_{k+1}}\epsilon_1, \quad \epsilon_0, \epsilon_1 \sim N(0, I) \quad (60)$$

$$= \sqrt{(1 - \beta_{k+1})\alpha_k}X_0 + \sqrt{((1 - \beta_{k+1})(1 - \alpha_k))^2 + \beta_{k+1}}\epsilon, \quad \epsilon \sim N(0, I) \quad (61)$$

联系  $\alpha_{k+1}$  定义整理即得:

$$X_{k+1} = \sqrt{\alpha_{k+1}}X_0 + \sqrt{1 - \alpha_{k+1}}\epsilon, \quad \epsilon \sim N(0, I), \quad (62)$$

即:

$$X_{k+1} \sim N(X_{k+1}; \sqrt{\alpha_{k+1}}X_0, (1 - \alpha_{k+1})I). \quad (63)$$

综上得证。

## D 命题 4 证明

由条件概率定义:

$$q(x_{t-1}|x_t, x_0) = \frac{q(x_t, x_{t-1}, x_0)}{q(x_t, x_0)} \quad (64)$$

将分子分母展开后, 由 10 式的马尔可夫性化简分子, :

$$\frac{q(x_t, x_{t-1}, x_0)}{q(x_t, x_0)} = \frac{q(x_t|x_{t-1}, x_0)q(x_{t-1}|x_0)q(x_0)}{q(x_t|x_0)q(x_0)} \quad (65)$$

$$= \frac{q(x_t|x_{t-1})q(x_{t-1}|x_0)q(x_0)}{q(x_t|x_0)q(x_0)} \quad (66)$$

$$= \frac{q(x_t|x_{t-1})q(x_{t-1}|x_0)}{q(x_t|x_0)}. \quad (67)$$

由加噪过程定义式 9 可得  $q(x_t|x_{t-1})$ , 由命题 2 25 式可得  $q(x_{t-1}|x_0)$  和  $q(x_t|x_0)$ , 这些均为正态分布的 PDF, 将解析式代入 67 整理即得。

## E 命题 5 证明

协方差阵为对角阵的正态分布可由一元正态分布迁移而来, 因此我们仅证明  $d = 1$  的情况, 即两个一元正态分布之间的 KL 散度公式:

$$\begin{aligned} & KL(p_1(x)||p_2(x)) \\ & \stackrel{\text{根据定义}}{=} \int p_1(x) \log \frac{p_1(x)}{p_2(x)} dx \\ & = \int p_1(x) (\log p_1(x) - \log p_2(x)) dx = \int p_1(x) * (\log \frac{1}{\sqrt{2\pi}\sigma_1^2} e^{-\frac{(x-\mu_1)^2}{2\sigma_1^2}} - \log \frac{1}{\sqrt{2\pi}\sigma_2^2} e^{-\frac{(x-\mu_2)^2}{2\sigma_2^2}}) dx \\ & = \int p_1(x) * (-\frac{1}{2} \log 2\pi - \log \sigma_1 - \frac{(x-\mu_1)^2}{2\sigma_1^2} + \frac{1}{2} \log 2\pi + \log \sigma_2 + \frac{(x-\mu_2)^2}{2\sigma_2^2}) dx \\ & = \int p_1(x) (\log \frac{\sigma_2}{\sigma_1} + [\frac{(x-\mu_2)^2}{2\sigma_2^2} - \frac{(x-\mu_1)^2}{2\sigma_1^2}]) dx \\ & = \int (\log \frac{\sigma_2}{\sigma_1}) p_1(x) dx + \int (\frac{(x-\mu_2)^2}{2\sigma_2^2}) p_1(x) dx - \int (\frac{(x-\mu_1)^2}{2\sigma_1^2}) p_1(x) dx \\ & = \log \frac{\sigma_2}{\sigma_1} + \frac{1}{2\sigma_2^2} \int ((x-\mu_2)^2) p_1(x) dx - \frac{1}{2\sigma_1^2} \int ((x-\mu_1)^2) p_1(x) dx \\ & = \log \frac{\sigma_2}{\sigma_1} + \frac{1}{2\sigma_2^2} \int ((x-\mu_2)^2) p_1(x) dx - \frac{1}{2} \\ & = \log \frac{\sigma_2}{\sigma_1} + \frac{1}{2\sigma_2^2} \int ((x-\mu_1 + \mu_1 - \mu_2)^2) p_1(x) dx - \frac{1}{2} \\ & = \log \frac{\sigma_2}{\sigma_1} + \frac{1}{2\sigma_2^2} [\int (x-\mu_1)^2 p_1(x) dx + \int (\mu_1 - \mu_2)^2 p_1(x) dx + 2 \int (x-\mu_1)(\mu_1 - \mu_2)] p_1(x) dx - \frac{1}{2} \\ & = \log \frac{\sigma_2}{\sigma_1} + \frac{1}{2\sigma_2^2} [\int (x-\mu_1)^2 p_1(x) dx + (\mu_1 - \mu_2)^2] - \frac{1}{2} \\ & = \log \frac{\sigma_2}{\sigma_1} + \frac{\sigma_1^2 + (\mu_1 - \mu_2)^2}{2\sigma_2^2} - \frac{1}{2} \end{aligned}$$

## References

- [1] Jonathan Ho, Ajay Jain, and Pieter Abbeel. “Denoising Diffusion Probabilistic Models”. In: *arXiv preprint arxiv:2006.11239* (2020).
- [2] Cheng Lu et al. “DPM-Solver: A Fast ODE Solver for Diffusion Probabilistic Model Sampling in Around 10 Steps”. In: *arXiv preprint arXiv:2206.00927* (2022).
- [3] Jiaming Song, Chenlin Meng, and Stefano Ermon. “Denoising Diffusion Implicit Models”. In: *arXiv:2010.02502* (Oct. 2020). URL: <https://arxiv.org/abs/2010.02502>.